

水平補剛材を有するプレートガーダーの非弾性曲げ座屈

関西大学工学部 正会員 三上市蔵
 関西大学工学部 正会員 大谷孝彦
 鹿島建設 正会員 ○古市光昭
 関西大学工学部 正会員 米沢 博

まえがき プレートガーダーの曲げ強度に関しては多くの研究がなされしてきた。しかしながら鉛直および水平補剛材を有するプレートガーダーの曲げ強度を、フランジ剛度、補剛材剛度、腹板の変形などを考慮して研究したものはないようである。ここではプレートガーダーの腹板、フランジ、鉛直補剛材および水平補剛材が一体となって非弾性連成座屈を生ずる場合を理論的に研究した。また理論の妥当性を検討する目的で、全溶接プレートガーダー模型化たに対して座屈実験を行なった。

微分方程式 図-1に示す長さaのプレートガーダーが純曲げを受ける場合を直交異方向性板理論に基づいて解析する。すなわち鉛直補剛材は腹板と一体みなして、鉛直補剛材方向の曲げ剛さを D_y 、フランジ方向の曲げ剛さを D_{xi} とする。そして長さa、幅 Bb および $(1-\beta)b$ なる2枚の直交異方向性板の連結部に水平補剛材が位置しているものとする。応力分布は上下対称とし、中立軸は $y=b/2$ の位置にあるものとする。

腹板部分が座屈したときのたわみ曲面の微分方程式として、直交異方向性変剛板に対するものを腹板 $i=1, i=2$ に対して用いる。応力がx方向に変化しないと仮定すると微分方程式はつきのようになる。

$$\begin{aligned}
 D_{xi} \frac{\partial^4 w_i}{\partial x^4} + 2(D_{ii} + 2C_{pi}) \frac{\partial^4 w_i}{\partial x^2 \partial y^2} + D_y \frac{\partial^4 w_i}{\partial y^4} + 2 \frac{\partial}{\partial y} (D_{ii} + 2C_{pi}) \frac{\partial^3 w_i}{\partial x^2 \partial y} \\
 + 2 \frac{\partial D_y}{\partial y} \frac{\partial^3 w_i}{\partial y^3} + \frac{\partial^2 D_{ii}}{\partial y^2} \frac{\partial^3 w_i}{\partial x^2} + \frac{\partial^2 D_y}{\partial y^2} \frac{\partial^3 w_i}{\partial y^2} = N_x \frac{\partial^2 w_i}{\partial x^2}
 \end{aligned} \quad (1)$$

ただし、 $D_{ii}, 2C_{pi}$ は直交異方向性板のねじれ剛さであり、 N_x は任意の位置のx方向の単位幅当たりの引張りである。腹板、フランジ、水平補剛材は $x=0, a$ で単純支持されており、腹板は上フランジにより水平方向の変位とねじれ変位が拘束され、下フランジにより単純支持されているものとする。2つの微分方程式(1)を境界条件および連続条件のもとで解くことにより座屈荷重が求まる。座屈荷重を求めるにあたっては差分法を用いた。

数値計算 数値計算を行ない、腹板の幅厚比、フランジの断面寸法、補剛材剛度などが座屈荷重に与える影響を明らかにした。数値計算より得られた主な結論をつきに示す。

①上フランジの水平座屈が支配的な a/b が大きい範囲では、水平補剛材の使用による座

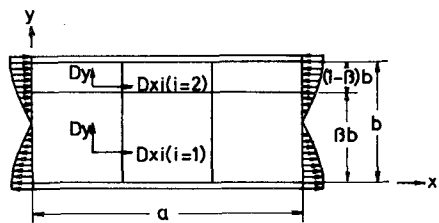


図-1

屈モードにM_{ch}の向上はa/bの影響を受ける。水平補剛材剛比D_r(=B_{bs}/bD_x)の増加にはほとんど比例する。ただし、B_{bs}は水平補剛材の曲げ剛さであり、D_{x1}=D_{x2}=D_xで、以下D_xなどは弾性域における値を基準にとっている。

2)上フランジのねじれ座屈と腹板の座屈が同時に起こるa/bの小さい範囲では、トが小さいほどD_rの増加による座屈モードの変化が著しいが、トが大きくなるとトの增加は座屈モードにあまり影響を与えない。

3)鉛直補剛材の曲げ剛さを表すD_r/D_xがある値を越えるとM_{ch}/M_yはほとんど一定となる。ただし、M_yは線形応力分布を仮定したときのフランジ降伏曲げモードである。また腹板の座屈モードも直線に近づく。M_{ch}/M_yがほとんど一定となるD_r/D_xの値はトの大きさによることなり、トの値をつぎに述べる値に等しくとるとD_r/D_x=10あたりからM_{ch}/M_yはほとんど一定値となる。

4)D_r/D_xの増加と共に腹板の座屈モードが直線に近づき、M_{ch}/M_yも一定値に近づくことから、腹板の座屈モードをほとんど直線にする水平補剛材剛比ト_wを考えた。ト_wは座屈時の水平補剛材のたわみW_sと腹板の座屈モードを直線と仮定したときの水平補剛材のたわみW_{so}一致するように決定した。図-2はトとW_s/W_{so}の関係を示したものである。ト=10を有するけではD_r/D_x≈10になるとD_r/D_xの大きさにかかわらず腹板の座屈モードは直線であると考えられる。しかしト>10になると腹板の座屈モードを直線に近づけるためには相当大きいD_r/D_xが必要であることがわかる。またト>10を有するけたの場合、M_{ch}/M_yもD_r/D_xの値に関係なく一定値となり、横倒れ理論によるM_{ch}/M_yにほぼ一致する。

アーチトガーダーの座屈実験 純曲げを受けるアーチトガーダー模型Cに対する座屈実験を行なった。模型Cにはスパン5.1m、腹板高90cm、腹板厚h=0.32cmで、腹板の縦横比a/bおよび幅厚比b/h、フランジの幅厚比c/t、水平補剛材と腹板の断面積比などは表-1に示す通りである。けたは試験対象として3パネル内で横倒れ非弾性座屈を起こして破壊した。また水平補剛材剛比としてト_wの65%を用いたが、腹板の座屈モードは直線に近く、腹板、上フランジおよび補剛材が同時に破壊した。つぎに名古屋大学の実験¹⁾に理論を適用した結果を模型Cに対するものと合わせて表-1に示す。ただし、M_{max}は破壊荷重である。理論値が静的耐荷力によく一致していることがわかる。

表-1

模型	a/b	b/h	c/t	D _r /D _x	座屈荷重(kN/cm ²)		ト _w	ト/ト _w	M _{ch} /M _y	M _{max} /M _y	M _{max} /M _{ch}					
					フランジ	腹板										
C	1.70	28.3	8.3	0.234	50.2	3660	2740	2910	0.8	0.13	51	79	0.65	0.7440	0.8410	1.12
LA-1	1.43	306.3	2.0	0.383	42.3	3508	2143	-	0.8	0.12	43	220	0.20	0.8857	0.9152	1.03
LA-2	1.43	306.3	2.0	0.383	42.3	3508	2143	-	0.8	0.16	114	244	0.47	0.8848	0.8645	0.97
LB-1	1.68	306.3	12.0	0.383	508.6	3508	2143	-	0.8	0.10	29	210	0.14	0.8661	0.7649	0.89
LB-2	1.68	306.3	12.0	0.383	508.6	3508	2143	-	0.8	0.15	86	244	0.35	0.8635	0.8375	0.97

1)福本・久保: 水平補剛材をもつアーチトガーダーの横倒れ耐荷力、工学会論文集、No.220.

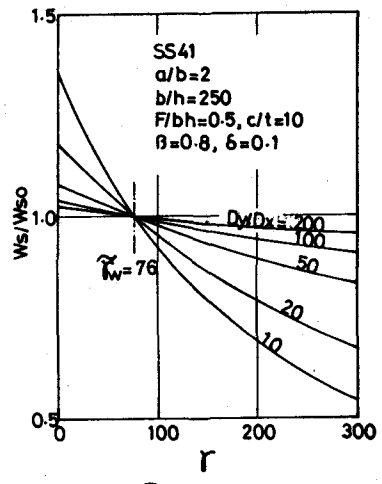


図-2